

บทที่ 2

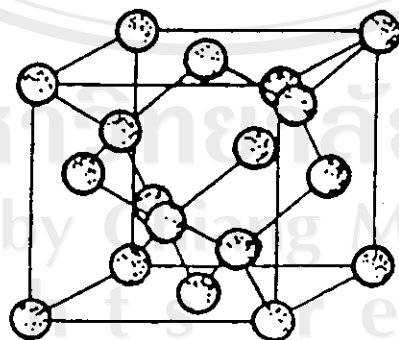
กําเนด

2.1 โครงสร้างของผลึกของสารกึ่งตัวนำ

โดยทั่วไปแล้ว โครงสร้างของสารกึ่งตัวนำจะมีลักษณะเป็นทรงแท่ง tetrahedral bond กล่าวคือ ทุกอะตอมในผลึกจะมีอะตอมอื่น ๆ ที่อยู่ใกล้เคียงที่สุดล้อมรอบอยู่ 4 อะตอม แต่เนื่องจาก อะตอมของชาตุชนิดต่าง ๆ มีขนาดและอำนาจในการดึงดูดซึ่งกันและกันไม่เท่ากัน เป็นผลทำให้โครงสร้างผลึกมีลักษณะแตกต่างจากโครงสร้างสมบูรณ์เล็กน้อย อาจแบ่งโครงสร้างได้ 4 ประเภท คือ

2.1.1 โครงสร้างแบบเพชร (Diamond lattice Structure)

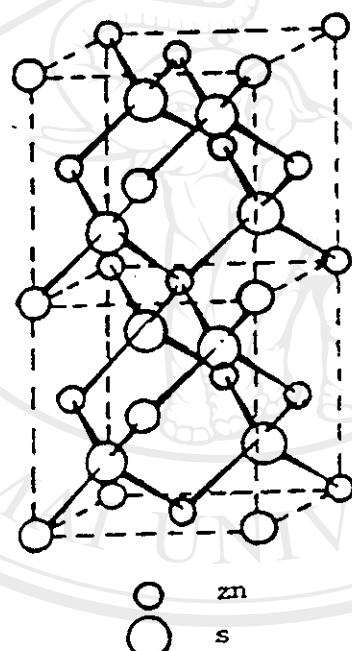
สารกึ่งตัวนำที่มีโครงสร้างแบบนี้จะมีลักษณะของสเปลลทีส (space lattice) เป็นแบบเฟสเซ็นเตอร์คิวบิก (face centered cubic) ซึ่งมีค่าคงที่ของโครงผลึก $a = b = c$ และ $\alpha = \beta = \gamma = 90^\circ$ ดังแสดงในรูป 2.1 หนึ่งหน่วยเซลล์ (unit cell) ของสารที่มีโครงสร้างแบบนี้จะมี 8 อะตอม สารกึ่งตัวนำที่มีโครงสร้างแบบนี้เป็นผลึกที่ประกอบด้วยชาตุกลุ่ม IV ได้แก่ เพชร (C), ซิลิคอน (Si), เยอร์มาเนียม (Ge) และดีบุก (Sn) ซึ่งมีค่าคงที่ของโครงผลึกเป็น 3.56 , 5.43 , 5.65 และ 6.46 \AA ตามลำดับ



รูปที่ 2.1 แสดงโครงสร้างผลึกแบบเพชร⁽¹⁾

2.1.2 โครงสร้างผลิกแบนเดนเด (Zinc-blende structure)⁽²⁾

โครงสร้างแบบนี้จะมีลักษณะของสเปลล์ทิล เป็นแบบเฟสเซนเตอร์คิวบิก ซึ่งมีค่าคงที่ของผลิก $a = b = c$ และ $\alpha = \beta = \gamma = 90^\circ$ เช่นเดียวกับโครงสร้างแบบเฟชร์ ดังรูปที่ 2.2 หนึ่งหน่วยเซลล์ของโครงสร้างผลิกแบนเดนเด จะมีอะตอมทั้ง 2 ชนิดรวมกันอยู่ 8 อะตอม สารประกอบบังคับตัวนำที่มีโครงสร้างแบบนี้ ประกอบด้วย สารกลุ่ม III-V หรือ II-VI ได้แก่ ZnSe, CdS และ InAs ซึ่งมีค่าคงที่ของผลิกเป็น 5.65 , 5.82 และ 6.04 \AA ตามลำดับ

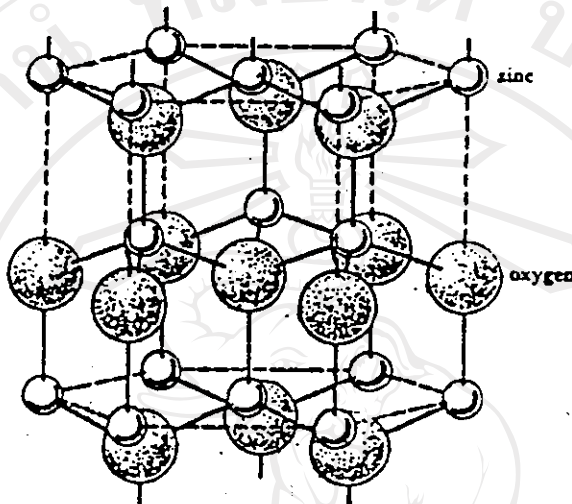


ลิขสิทธิ์มหาวิทยาลัยเชียงใหม่
Copyright[©] by Chiang Mai University
All rights reserved

รูปที่ 2.2 แสดงโครงสร้าง⁽¹⁾ ผลิกแบบ Zinc-blende

2.1.3 โครงสร้างผลึกแบบเวอร์ทไซท์⁽¹⁾ (Wurtzite)

สารประกอบกึ่งตัวนำที่มีโครงสร้างแบบนี้จะมีลักษณะของสเปลแลททิส เป็นแบบเร็กเก็ตโภโนล (hexagonal) ดังรูปที่ 2.3 สารประกอบกึ่งตัวนำที่มีโครงสร้างแบบนี้เป็นผลึกที่ประกอบด้วย สารกลุ่ม III-V หรือ II-VI ได้แก่ ZnS, InSe, CdS และ CdSe ซึ่งมีค่าคงที่ของโครงผลึก (a) เป็น 3.81, 3.98, 4.13 และ 4.30 Å ตามลำดับ และมีค่าคงที่ของโครงผลึก (c) เป็น 6.23, 6.53, 6.75 และ 7.02 Å ตามลำดับ



รูปที่ 2.3 แสดงโครงสร้างแบบเวอร์ทไซท์⁽¹⁾

2.1.4 โครงสร้างแมกซัลโลไฟโรท์ (Chalcopyrite)⁽¹⁾

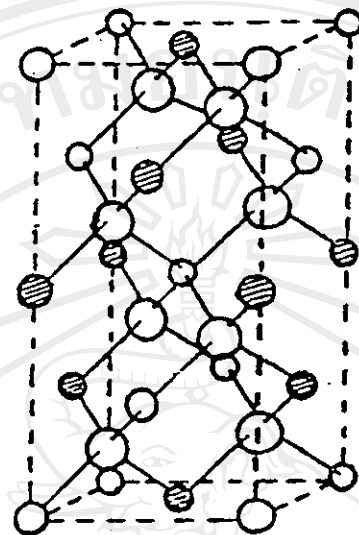
สารประกอบกึ่งตัวนำที่มีโครงสร้างแบบนี้จะมีลักษณะของสเปลแลททิส เป็นแบบบอดี้เซ็นเตอร์เตตราโภโนล (body-centered tetragonal) ซึ่งมีค่าคงที่ของโครงผลึก $a = b \neq c$ และ $\alpha = \beta = \gamma = 90^\circ$ ดังรูปที่ 2.4 หนึ่งหน่วยเซลล์ของสารประกอบกึ่งตัวนำที่มีโครงสร้างแบบนี้ จะมี 16 อะตอม สารที่มีโครงสร้างแบบนี้ คือ สารกึ่งตัวนำ I-III-V₂ และ II-IV-V₂ ดังรูป 2.4 ซึ่งอะตอมมีตำแหน่งดังนี้ คือ

ชัตุกุลุ่ม I เช่น Cu มี 4 อะตอม อัญญาติ : $000, 0\frac{1}{2}\frac{1}{4}, \frac{1}{2}\frac{1}{2}\frac{1}{2}, \frac{1}{2}\frac{3}{4}$

ชัตุกุลุ่ม III เช่น In มี 4 อะตอม อัญญาติ : $00\frac{1}{2}, 0\frac{1}{2}\frac{3}{4}, \frac{1}{2}\frac{1}{2}1, \frac{1}{2}\frac{1}{4}$

ชัตุกุลุ่ม VI เช่น Se มี 8 อะตอม อัญญาติ : $x\frac{1}{4}\frac{1}{8}, \bar{x}\frac{3}{8}\frac{1}{8}, \frac{3}{4}\frac{7}{8}, \frac{1}{4}\frac{7}{8}, \frac{1}{2} + \frac{x}{4}\frac{5}{8}, \frac{1}{2} + \frac{\bar{x}}{4}\frac{5}{8},$
 $\frac{1}{4}\frac{1}{2} + \frac{\bar{x}}{8}$ และ $\frac{3}{4}\frac{1}{2} + \frac{\bar{x}}{8}$

โดยที่ $x = \frac{1}{4}+U$ และ $\bar{x} = \frac{3}{4}+U$, U เป็นเพื่อการเลือกแบบเตตราโภโนล ซึ่งเกิดจากอะตอมของชัตุกุลุ่มต่าง ๆ มีขนาดและอ่านາจในการตั้งคุณซึ่งกันและกันไม่เท่ากัน เป็นผลให้โครงสร้างแตกต่างจากโครงสร้างสมบูรณ์เล็กน้อย เป็นผลทำให้อัตราส่วนของ c/a ไม่เท่ากับ 2 และ x เป็นตำแหน่งของอะตอมกลุ่ม VI

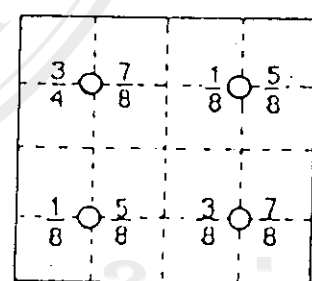
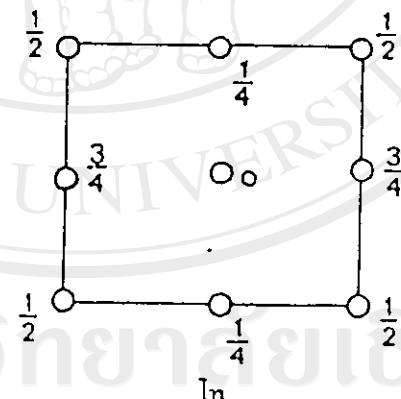
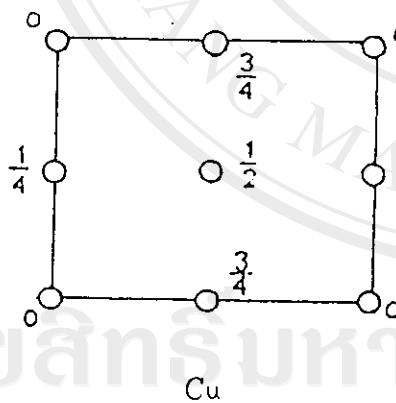
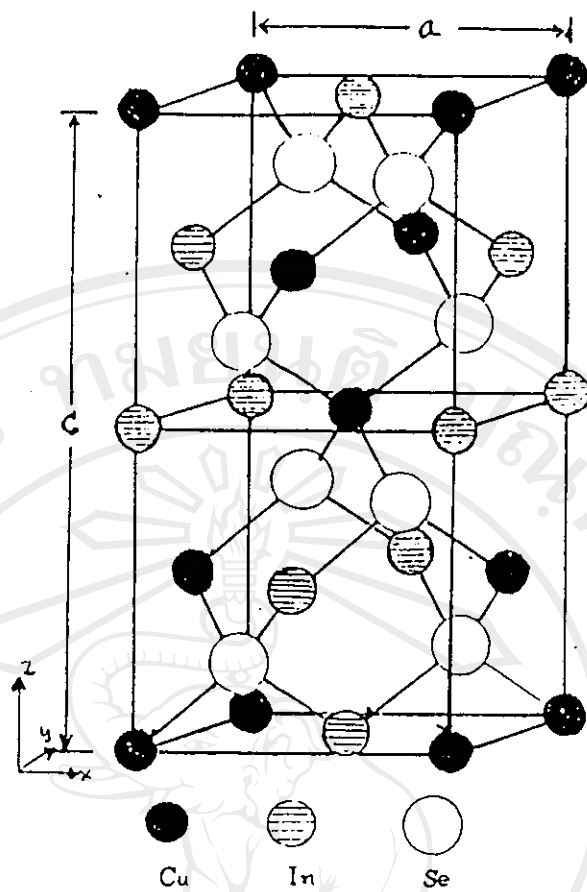


รูปที่ 2.4 แสดงโครงสร้างแบบชัลโล่ໄร์ท^(๑)

2.2 หลักการเตรียมผลึกเบื้องต้น

นำเอาชาตุแต่ละชนิดที่เราต้องใช้เพื่อทำให้เกิดผลึกสารกึ่งตัวนำ มาซึ่งให้ได้น้ำหนักตามที่ค่านวนไว้ และบรรจุชาตุต่าง ๆ ที่ซึ่งน้ำหนักแล้วแล้วนึ่งในหลอดแก้วควบคุม ชิ้งปลายด้านหนึ่งเปิดดูดอากาศออก ปิดหลอด แล้วนำไปปลอม ก่อนที่จะนำสารมาเตรียมเนื้อต้องศึกษาองค์ประกอบที่เกี่ยวข้อง กับการเลือกวิธีการเตรียมผลึก การเลือกวิธีการเตรียมผลึกแต่ละชนิด จะต้องพิจารณาองค์ประกอบต่าง ๆ ดังต่อไปนี้ ดือ^(๒)

1. พิจารณาปฏิกิริยาทางเคมีของสารประกอบหรือชาตุต่าง ๆ ก่อน ถ้าหากชาตุต่าง ๆ หรือสารประกอบทำปฏิกิริยากับผังหลอดขณะปลอมแล้ว จะทำให้เกิดสารเจือปนมาเป็นกับสารที่เตรียมได้ ดังนั้น ก่อนบรรจุชาตุต่าง ๆ ควรเคลือบผังหลอดด้วยคาร์บอน



ลิขสิทธิ์มหาวิทยาลัยเชียงใหม่
 Copyright © by Chiang Mai University
 รูปที่ 2.4.1 แสดงโครงสร้างของ CuInSe_2
 All rights reserved

2. ผิวน้ำความดันไออกซ์เจน ฯ ชาตุบางชนิดเมื่อกลายเป็นไออกซ์เจนจะมีความดันไออกซ์เจนสูงจะส่งผลทำให้หลอมแตกหรือระเบิด ถ้าเตรียมสารที่เป็นสารประกอบฟอสฟอไรด์หรือชัลไฟด์ (phosphide or sulphide compounds) จะต้องเพิ่มอุณหภูมิการหลอมอย่างช้า ๆ เพื่อลดความดันไออกซ์เจนของสารประกอบเซเลไนด์ (selenide compounds) สามารถเพิ่มอุณหภูมิได้เร็วกว่ากรณีแรก เพราะความดันไออกซ์เจน

3. ผิวน้ำจะหลอมเหลวของสารประกอบหรือชาตุต่าง ๆ ในการเลือกอุณหภูมิการหลอม ให้อุณหภูมิของการหลอมเหลวของชาตุสูงกว่าชาตุหลอมเหลวของชาตุ นิยมใช้สูงกว่า 50°C ขึ้นไป ทั้งนี้ขึ้นอยู่กับความแน่นอนของเครื่องวัดอุณหภูมิ

2.3 เทคนิคการหลอมสาร⁽³⁾

2.3.1 เทคนิคการหลอมสารแบบบริจัม

นำเอาชาตุต่าง ๆ ที่บรรจุไว้ในหลอดแก้วสูญญากาศดังได้กล่าวแล้วในข้อ 2.2 มาดำเนินการทำให้หลอมเหลว เพื่อให้ชาตุต่าง ๆ เหล่านี้จับตัวกันใหม่ เพื่อให้ได้ผลึกที่เราต้องการบริจัมmen ได้ทำให้ชาตุเหล่านี้เป็นรูปเป็นผลึก โดยการให้หลอดแก้วบรรจุชาตุต่าง ๆ เหล่านี้ที่ความดันต่ำเท่าที่จะสามารถเตรียมได้และค่อยๆ เลื่อนหลอดแก้วนี้ในเตา ชีบอุณหภูมิของแต่ละตำแหน่งไม่เท่ากัน โดยที่อุณหภูมิค่อนข้างสูงสุด ชีบสูงกว่าชาตุหลอมเหลวของชาตุต่าง ๆ และของสารประกอบที่จะจับตัวกันเป็นผลึก แล้วอุณหภูมิค่อนข้างต่ำ ลดลง การเลื่อนหลอดแก้วอย่างช้ามากผ่านเตาดังกล่าวจะทำให้เราได้ผลึกสารกึ่งตัวนำตามต้องการ

การประยุกต์วิธีการของบริจัม

การประยุกต์วิธีการของบริจัม ทำได้โดยการให้หลอดแก้วที่บรรจุชาตุต่าง ๆ กับความดันต่ำสุดเท่าที่จะทำได้ ตามข้อ 2.2 วางไว้ในเตาเผา ค่อยๆ เพิ่มอุณหภูมิของเตาอย่างช้า ๆ จนกว่าทั้งอุณหภูมิสูงกว่าชาตุหลอมเหลวของชาตุต่าง ๆ หรือของสารประกอบที่จะจับตัวเป็นผลึกประมาณ 50°C ในบางกรณีเพื่อให้เกิดความมั่นใจว่าอุณหภูมิสูงพอ อาจให้อุณหภูมิสูงกว่าถึง 100°C หรือมากกว่านี้แล้วก็ได้ หากนั่นค่อยๆ ลดอุณหภูมิลงอย่างช้า ๆ ก็จะได้ผลึกที่ต้องการ เพื่อให้ได้ผลึกสมบูรณ์ยิ่งขึ้น นิยมน้ำไบแอโนเนลในเตาเผาประมาณ 1-2 เดือน

2.3.2 การหลอมแบบบาร์มดา⁽³⁾

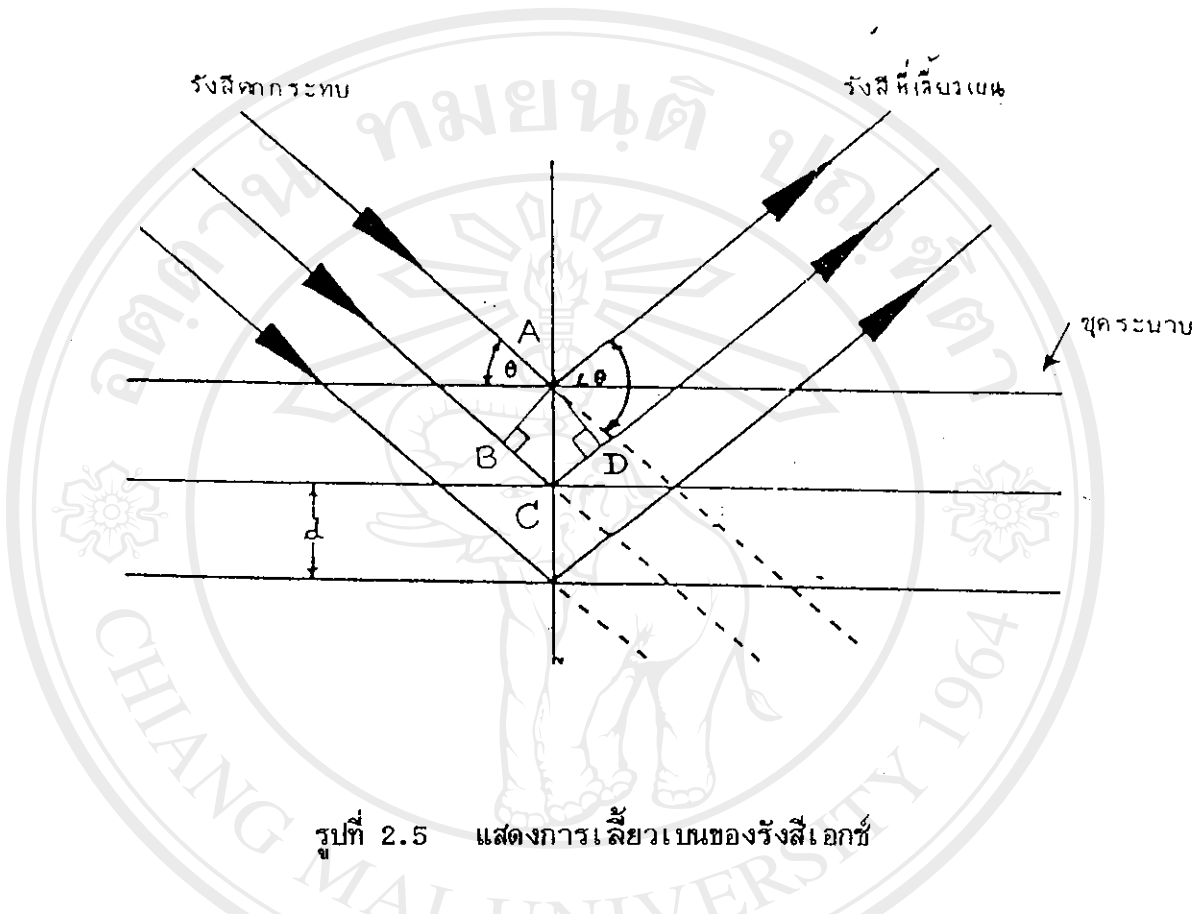
ลักษณะเตาเผาจะอยู่ในแนวเดิง เมื่อใส่สารที่ต้องการหลอมในหลอดความร้อน แล้วนำไปใส่ในเตา จากนั้นเพิ่มอุณหภูมิของเตาให้สูงกว่าจุดหลอมเหลวของสาร ประมาณ 200 °C และให้คงที่ประมาณ 24–48 ชั่วโมง ขณะเดียวกันก็มีการเช่าหลอด หรือหมุนเตากลับไปกลับมา เพื่อให้ชาตุต่าง ๆ ผสมกันดีขึ้น เมื่อครบเวลาแล้วก็ลดอุณหภูมิตามปกติจนถึงอุณหภูมิห้อง ซึ่งวิธีการนี้โดยมาก เมื่อสารเข็นตัวหลอมแก้วมักแตก ต้องนำไปปรับรูห้องใหม่ แล้วดูดอากาศออก จากนั้นนำไปเผาอีก จนกว่าจะได้ผลลัพธ์ที่สมบูรณ์

2.3.3 การหลอมแบบเครเวน⁽³⁾

ลักษณะของการหลอม เตาจะวางเหมือนการหลอมแบบบาร์มดา เพียงแต่เมื่อหลอมจนได้สูงกว่าจุดหลอมประมาณ 200 °C ในเวลา 24–48 ชั่วโมง แล้ว ก็เปิดเตาเอาสารรุ่มในน้ำเข็นทันที สารจะเข็นตัวอ่อนย่างรวดเร็ว ทำให้แท่งสารมีผิวเรียบ ไม่มีรูพรุน จากนั้นนำไปเผาอีกประมาณ 2 – 2 1/2 เดือน

2.4 การหาโครงสร้างของผลึก (Structure determination)⁽⁴⁾

ในปี ค.ศ. 1895 หลังจากที่ Roentgen ได้ค้นพบรังสีเอกซ์ ซึ่งเป็นคลื่นแม่เหล็กไฟฟ้าที่มีความยาวคลื่นอยู่ในช่วง 0.1 \AA ถึง 100 \AA แล้ว แบรగ (Bragg) ก็ได้อธิบายการเลี้ยวเบนของรังสีเอกซ์ในทิศทางต่าง ๆ ของผลึกว่า ผลึกประกอบไปด้วยชั้นระนาบทรายระนาบทันทันกัน เมื่อรังสีเอกซ์กระทบกับชั้นระนาบท่าง ๆ (planes) ของผลึก ชั้นระนาบทะลุนจะทำให้รังสีเอกซ์เกิดการเลี้ยวเบนออกมานะ รังสีเอกซ์ที่เลี้ยวเบนออกมานาจากระนาบท่าง ๆ จะมีความถี่หรือความยาวคลื่นค่าเดียวกับรังสีเอกซ์ที่กระทบกับผลึก และจะเกิดการแกรนสอดซึ่งกันและกัน ดังแสดงในรูป 2.5



รูปที่ 2.5 แสดงการเลี้ยวเบนของรังสีเอกซ์

จากรูปที่ 2.5 θ คือ มุมที่รังสีเอกซ์ทำกับผิวน้ำที่สะท้อน (Bragg angle) และ d คือ ระยะระหว่างระนาบในชุดเดียวกัน (interplanar spacing) สำหรับการเลี้ยวเบนของรังสีเอกซ์จากระนาบต่าง ๆ ของผลึกพบว่า รังสีเอกซ์ทึ้งหมดจะมีความแตกต่างของทางเดินเท่ากับ $BC + CD$ หรือ $2d \sin \theta$ หรือ $n\lambda$ ดังสมการ

$$2d \sin \theta = n\lambda \quad (2.1)$$

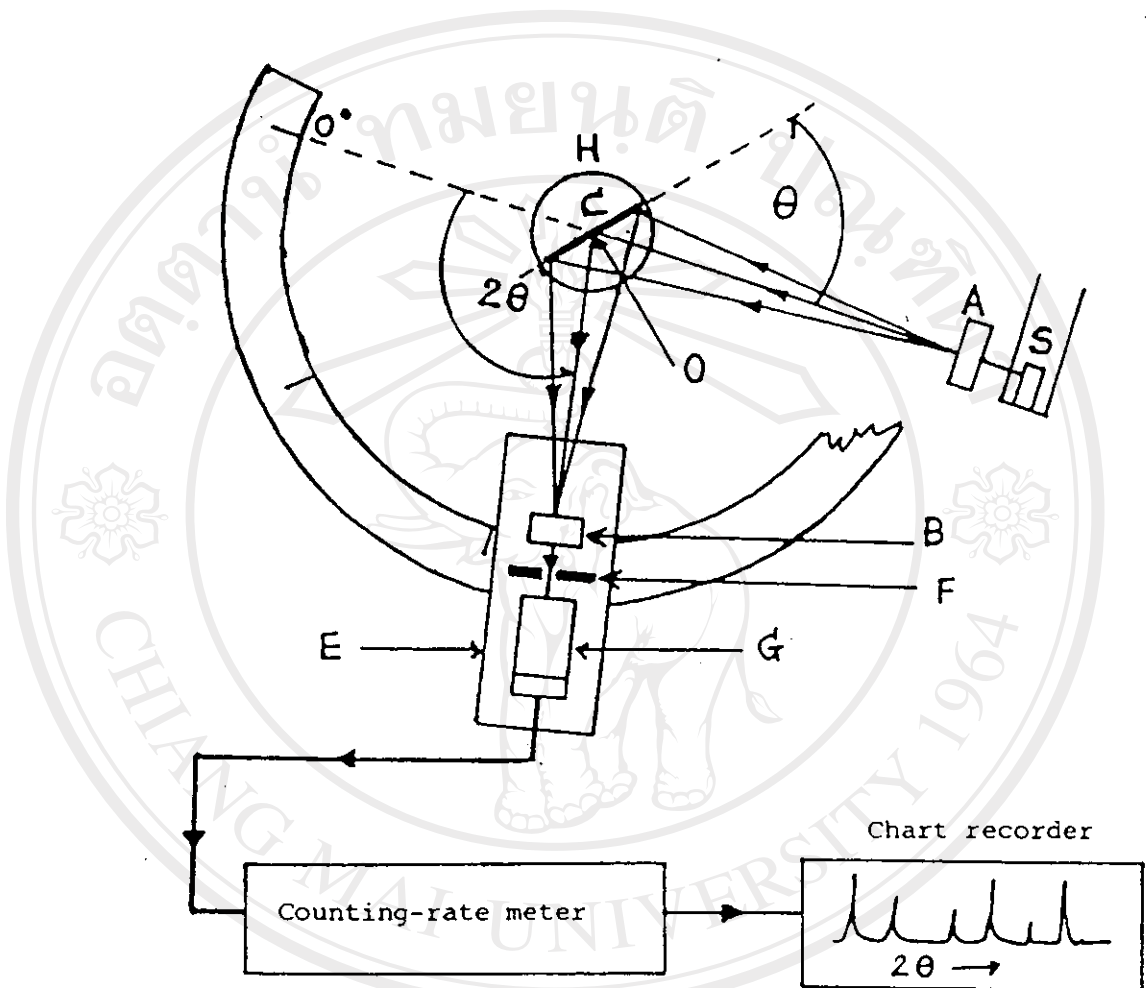
เมื่อ $n = 0, 1, 2, 3, \dots$ เป็นลำดับ (order) ของรังสีเอกซ์ที่ถูกเลี้ยวเบนถ้าเราพิจารณาการเลี้ยวเบนของรังสีเอกซ์ที่เกิดจากระยะระหว่างระนาบที่ตัดกัน พบร่วม รังสีเอกซ์ทึ้งสองจะมีความแตกต่างไฟฟ์เท่ากับ λ หรือ $n = 1$ ดังนั้น สมการ (2.1) จะเปลี่ยนรูปเป็น

$2d \sin \theta = \lambda$ ซึ่งถูกเรียกว่า กฎของแบรกค์ (Bragg's Law) สมการนี้เป็นสมการให้หาระยะระหว่างระนาบที่ถักกัน (d) เมื่อทราบความยาวคลื่นของรังสีเอกซ์ที่ใช้ (λ) และมุมของแบรกค์ (θ) จากการถ่ายภาพรังสีเอกซ์

2.4.1 หลักการของเครื่องเอกซ์เรย์ดิฟฟราคโตเมเตอร์ (X-ray Diffractometer)

ในการถ่ายภาพการเลี้ยวเบนโดยวิธี X-ray diffractometer นั้น สารตัวอย่างจะเป็นแผ่นไอลิตของพลาสติก C ถูกยืดบนฐาน H ซึ่งสามารถหมุนรอบแกน O รังสีเอกซ์จากแหล่งกำเนิด S ผ่านสลิท A มาตั้งสารตัวอย่าง แล้วเลี้ยวเบนผ่านไปยังสลิท B และ F พร้อมทั้งผ่านเครื่องนับ G โดยที่สลิท B, F และเครื่องนับ G อยู่บนฐาน E และแกนฐาน H จะถูกเชื่อมโยงอยู่ด้วยชุดเฟือง H หมุนรอบแกน O ไปเป็นมุม θ จะทำให้ฐาน E และเครื่องนับล็อกฐานไป 2θ ดังรูป 2.6

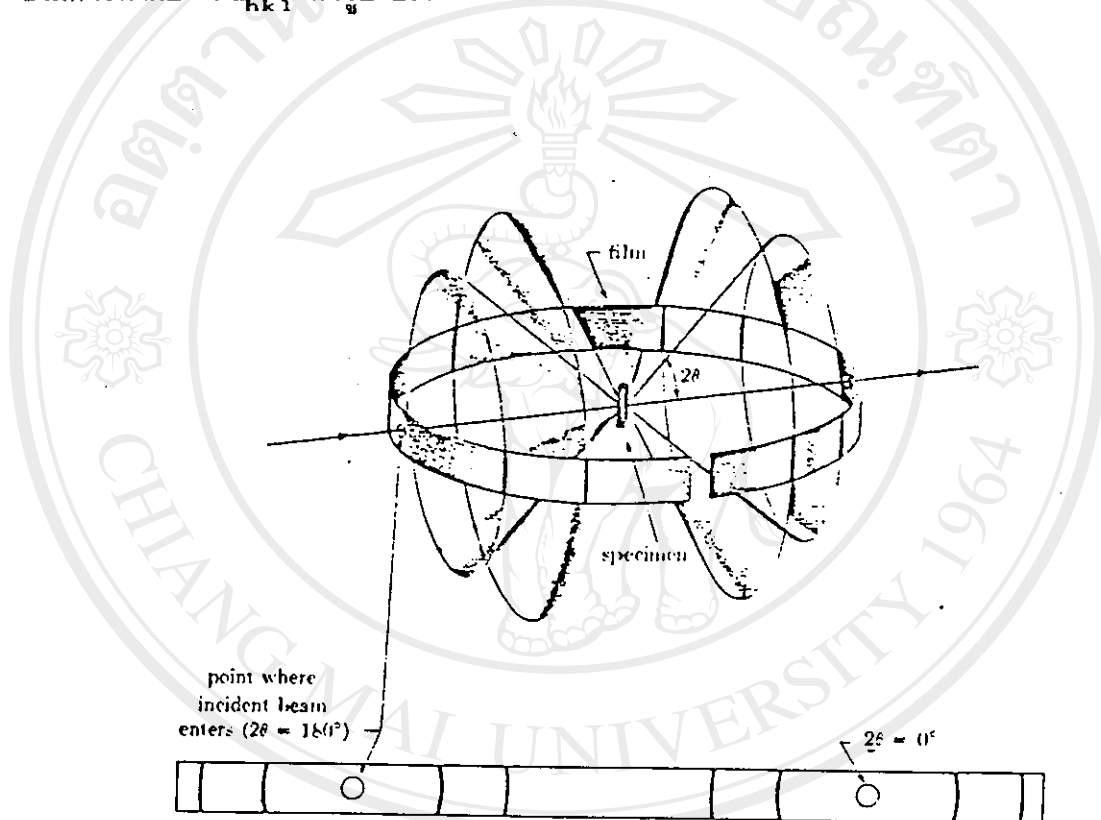
ความเข้มของรังสีเอกซ์ที่เลี้ยวเบนแล้ว ตรวจวัดโดยเครื่องนับลัญญาณ จะถูกส่งไปยังหน่วยบันทึกผล (Chart recorder) เมื่อบันทึกผลออกมานี้เป็นสีของスペกตรัมที่ต่ำแห่งมุม 2θ ของมุมแบรกค์ ค่าต่าง ๆ บนระดับกราฟ เราสามารถมาคำนวณหาค่า d (d-spacing) ได้ ทำให้ทราบโครงสร้างของสารตัวอย่าง



ลิขสิทธิ์มหาวิทยาลัยเชียงใหม่
Copyright © by Chiang Mai University
All rights reserved
รูปที่ 2.6 แผนผังแสดงส่วนสำคัญของเครื่องมือวัดความถี่ฟrequencymeter

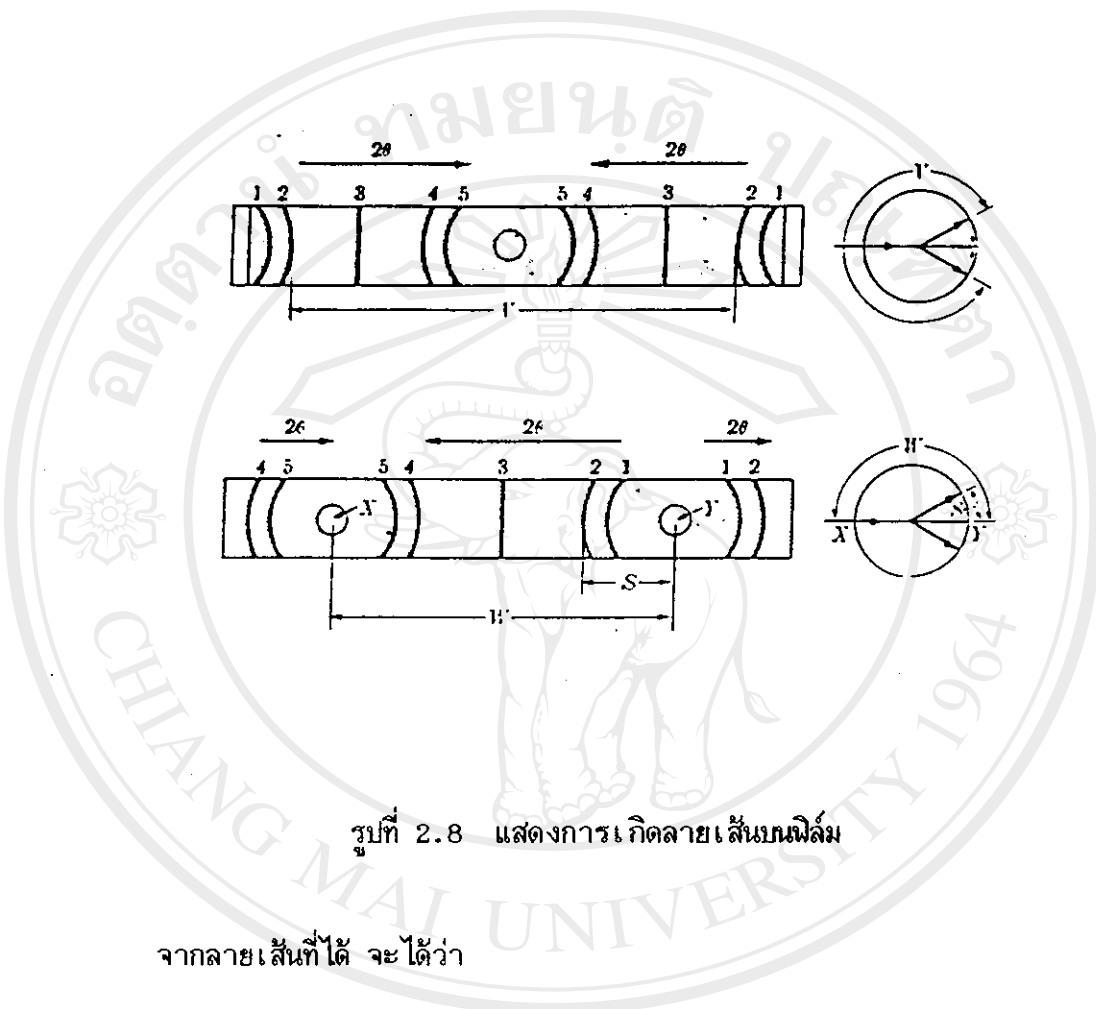
2.4.2 Debye Scherrer Method⁽⁴⁾

เป็นการถ่ายภาพการเกิด diffraction โดยนำเอาสารที่จะถ่ายภาพนั้น มาบด เป็นผงให้ละเอียด (Powder) ผงเล็ก ๆ จะเป็นผลลัพธ์เชิงเดี่ยว แล้วนำไปใส่ในหลอดกระดาษแก้ว ซึ่งมีเส้นผ่าศูนย์กลาง 0.5 มิลลิเมตร โดยอัดให้แน่น จะทำให้ระนาบของผลลัพธ์มีการเรียงตัวสม่ำเสมอ ในทุกทิศทุกทาง โดยที่แต่ละระนาบ (plane) ของผลลัพธ์แหนด้วย reciprocal lattice d_{hkl}^* ซึ่งมีค่าเท่ากับ $1/d_{hkl}$ ดังรูป 2.7



รูปที่ 2.7 แสดง reciprocal ແນ້ຳດຂອງຮະນາບທີ່ ၅ ทີ່ເຮັງຕ້ວຍໜ່າງສໍາເສນອ
ທຸກທຸກທາງ

ในงานปฏิบัติที่วัน เรายังใช้กล้องถ่ายภาพมีลักษณะเป็นทรงกระบอก สำหรับ Specimen เมื่อรังสีเอกซ์ผ่านเข้าไป ทำให้เกิด diffraction ออกมาระบบที่เราใส่ไว้รอบ ๆ Specimen ดังแสดงในรูป 2.7



รูปที่ 2.8 แสดงการเกิดลายเส้นบนฟิล์ม

จากลายเส้นที่ได้ จะได้ว่า

$$\begin{aligned}
 \text{เมื่อ } \theta &= \text{Bragg's angle} \\
 R &= \text{รัศมีของกล้อง} \\
 S &= \text{ระยะระหว่างเส้นบนฟิล์ม} \\
 \theta &= (S/2R) \times (180/\pi) \quad \text{องศา}
 \end{aligned}
 \tag{2.2}$$

ดังนั้น ทำให้เราหาค่า Interplanar Spacing ของแต่ละรูปแบบที่ทำให้เกิด diffraction จากสมการ (2.1) จะได้ว่า

$$d = \lambda / 2 \sin \theta \quad (\text{เมื่อ } n = 1) \quad (2.3)$$

2.4.3 Laue Method^(๕)

การศึกษาคุณสมบัติต่าง ๆ ของสารที่อยู่ในรูปผลึกส่วนใหญ่ ได้มาจาก การศึกษาคุณสมบัติของผลึกเชิงเดียว ตามปกติส่วนมากเป็นพวก anisotropic ใน การศึกษาวิจัย จำต้องทราบถึง Orientation ของผลึกก่อน เพื่อจะทราบ รูปแบบ (plane) หรือแกน (axis) ของผลึกของสารตัวอย่าง

การศึกษา Orientation ของผลึก โดย X-ray diffraction หารูปจากวิธี back reflection Laue Method และ transmission Laue Method โดยอาศัยวิธี Stereographic projection เข้าช่วง

2.4.4 Stereographic projection^(๖)

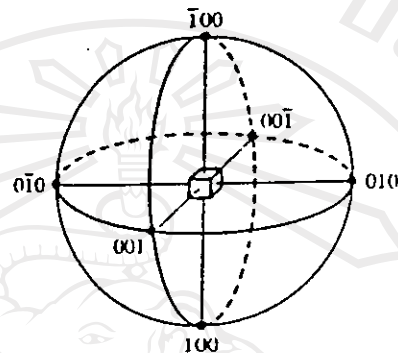
การศึกษาผลึกสามารถแสดงได้โดย เชียนอยู่ในรูปสามเหลี่ยมหรือแผนผัง แต่สิ่งเหล่านี้ ไม่สะดวกในการแสดงมุมที่เกี่ยวข้องกันระหว่างรูปแบบและแกน (Lattice plane) และทิศทาง (direction) โดยที่วิปาระสี่จุดระหว่างรูปแบบ (Interplanar angle) มากกว่าคุณสมบัติ อื่น ๆ ของผลึก

แผน Orientation ของรูปแบบใด ๆ ในผลึกตัวอย่างเส้นตั้งฉากรูปแบบ (plane normal) ที่ลากจากจุดหนึ่งในผลึก ถ้าลากนิยามตัวยกรูปทรงกลมข้างของรูปบุตเต้น เส้นตั้งฉากจะต้องตัดทรงกลมเป็นจุดที่เรียกว่า "Pole" ดังในรูป 2.9 ซึ่งแสดงกลุ่มของรูปแบบ {100} ของผลึกแบบลูกบาศก์ (Cubic crystal)

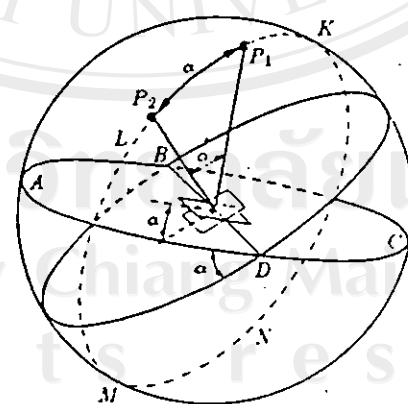
Pole ของระนาบແພດຕໍ່ແຫ່ງຂອງຮະນາບທຽງກລມອ້າງອີງ ແລະແພນ orientation ຂອງຮະນາບນີ້ ແລະອາຈແກນຮະນາມໄດ້ດ້ວຍ trace ຂຶ່ງແສດງຮະນາບນີ້ທຽງກລມ ດັ່ງຮູບ 2.10 ABCDA ແພນຮະນາບທີ່ມີ pole ເປັນ P_1 trace ນີ້ຈະເປັນວັກລມໃຫຍ່ ຄ້າຮະນາບຜ່ານຈຸດຄູ່ຢ່າງລາງຂອງທຽງກລມອ້າງອີງ

ຄ້າຮະນາບໄຟຜ່ານຈຸດຄູ່ຢ່າງລາງທຽງກລມອ້າງອີງ ກີ່ຈະຕັດເປັນວັກລມເລັກ ຜິຈາລະນາຮະນາມຮະນາບທີ່ເອີ້ນກຳມຸນເທົ່າກັນ α ຄ້າລາກເສັ້ນຕິ່ງຈາກຮະນາບນີ້ຈະຕັດວັກລມອ້າງອີງທີ່ P_1 ແລະ P_2 ກີ່ກຳມຸນເທົ່າກັນ α ແມ່ນອັກນ ແລະສາມາດວັດຄໍາມຸນ α ນີ້ນີ້ພິວທຽງກລມອ້າງອີງຕາມເສັ້ນຮອບວັງຂອງທຽງກລມໃຫຍ່ KLMNK ຂຶ່ງເນື້ອຮ່ວງ Pole P_1 ແລະ P_2 ຂອງຮະນາບທີ່ສອງ ຄ້າແນ່ງທຽງກລມທີ່ເປັນ 360 ສ່ວນເທົ່າກັນ ກີ່ສາມາດວັດມຸນຮ່ວງຮະນາມຈາກພິວທຽງກລມອ້າງອີງ ໃນວິຊາຜົລິກິທິຍາເຮົາເລືອກໃຫ້ equi angle stereographic projection ຂຶ່ງໃຫ້ຄໍາມຸນທີ່ຄູກຕ້ອງ ວິທີນີ້ກຳໄດ້ໂດຍເຂົາຮະນາຂອງ projection ຕັ້ງຈາກກັບປລາຍດ້ານທີ່ຂອງເສັ້ນຜ່ານຈຸດຄູ່ຢ່າງລາງທີ່ເລືອກແລ້ວຂອງທຽງກລມອ້າງອີງ ແລະໃຫ້ປລາຍຂ້າງໜຶ່ງຂອງເສັ້ນຜ່ານຈຸດຄູ່ຢ່າງລາງຈະເປັນຈຸດທີ່ຈະ project ດັ່ງຮູບ 2.11

ຈາກຮູບ 2.11 projection plane ຈະຕັດຈາກກັບເສັ້ນຜ່ານຈຸດຄູ່ຢ່າງລາງ AB ທີ່ປລາຍ A ແລະ project ຈາກຈຸດ B ຄ້າຮະນາບທີ່ມີ pole ທີ່ P ແລ້ວ stereographic projection ຂອງ P ອີ່ P' ທີ່ໃຫ້ຈາກລາກເສັ້ນ BP ໄປເປັນກັບ projection plane ທີ່ P' ຮະນາບ NESW ຕັ້ງຈາກກັບເສັ້ນຜ່ານຈຸດຄູ່ຢ່າງລາງ AB ແລະຜ່ານຈຸດຄູ່ຢ່າງລາງ C ດັ່ງນີ້ ຈຶ່ງເປັນຮະນາບທີ່ແປ່ງຄົ່ງທຽງກລມອອກເປັນ 2 ສ່ວນເທົ່າກັນ trace ຂອງຮະນາບນີ້ ນີ້ພິວທຽງກລມອ້າງອີງດີ່ວັງລມໃຫຍ່ ແລະເງົາຂອງວັກລມໃຫຍ່ນີ້ຈະປຣາກງູນ projection plane ເປັນ basic circle N'E'S'W' pole ກີ່ທັງໝົດທີ່ມີຄົ່ງວັກລມຂ້າຍມີອະຈຸກ project ກາຍນອກ basic circle ຄ້າຕົ້ນການ projection plane ໄປເຫັນຈຸດ B ດ້ວຍ ຈະໄດ້ກຸ່ມຂອງຈຸດໃໝ່ທີ່ມີເຄື່ອງໝາຍຕຽບກັນຂ້າມຂອງກຸ່ມແຮກ ກາຣເຄື່ອນຂ້າຍ projection plane ໄປຕາມແນວ AB ເປັນກາຣເປີ່ຍແຄ່າກຳລັງຂ້າຍ ພ້ອມກີ່ສາມາດໃຫ້ projection plane ອີ່ທີ່ຈຸດຄູ່ຢ່າງລາງວັກລມອີກດ້ວຍ ໃນກາຣນີ້ basic circle ມີໝາດເທົ່າກັບວັກລມໃຫຍ່ NESW ພອດີ



รูปที่ 2.9 แสดงกลุ่ม Pole {100} ของผลึกลูกบาศก์⁽²⁾



รูปที่ 2.10 แสดงมุมระหว่างระนาบ 2 ระนาบ⁽²⁾

ในการ project ะนานแลกที่สของผลิกลงใน projection plane สามารถสรุปได้ดังนี้

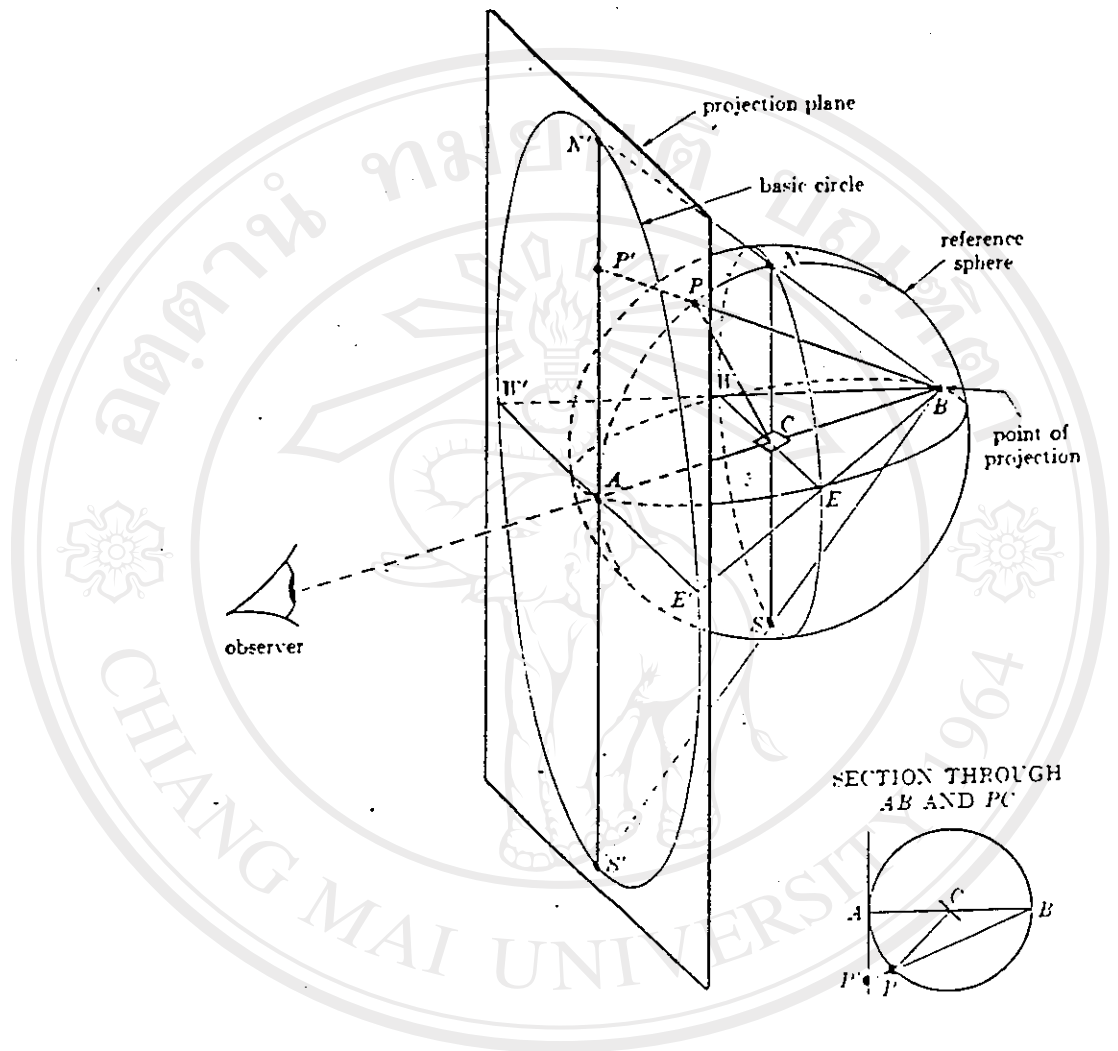
1. แผนระนาบ C ด้วยเส้นตั้งฉาก CP
2. แผนเส้นตั้งฉาก CP ด้วย pole P ซึ่งเป็นจุดตัดของ CP กับทรงกลม อ้างอิง
3. แผน P ด้วย stereographic projection P'

จากที่กล่าวมาแล้ว อาจกล่าวได้ว่า P' คือ Pole ของระนาบ C หรือแผนระนาบ C โดยตรง วงกลมใหญ่บนทรงกลมอ้างอิงจะถูก project เป็นส่วนโถงของวงกลมบน projection plane วงกลมใหญ่ของวงกลมอ้างอิงที่ผ่านจุดศูนย์กลาง AB จะถูก project เป็นเส้นตรงผ่านเส้นผ่าศูนย์กลาง AB ของ basic circle บน projection plane ดังรูป 2.11

ถ้าเราแบ่งครึ่งวงกลมใหญ่เป็น 18 ส่วนเท่า ๆ กัน ดังรูป 2.12 เมื่อถูก project ลงบน projection plane จุดที่แบ่ง P' , A' , E' จะเป็นจุดแบ่งมาตรฐานทุกช่อง 10 องศา บนเส้นผ่าศูนย์กลางของ basic circle ส่วนวงกลมเล็กบนทรงกลมอ้างอิงที่จะถูก project เป็นวงกลมด้วย แต่เงาของจุดศูนย์กลางของวงกลมเล็กที่สุด project จะไม่ทับกับจุดศูนย์กลางของวงกลมบน projection plane วงกลม AJEK มีจุดศูนย์กลางที่ P' ซึ่งอยู่บนเส้น AWBE วงกลมนี้ถูก project เป็น $A'J'E'K'$ และมีจุดศูนย์กลางที่ C' ซึ่งอยู่กึ่งกลางของเส้น AE' แต่เงาของ P' คือ P อยู่ที่ทำแท่ง 45 องศา กับ A และกับ E'

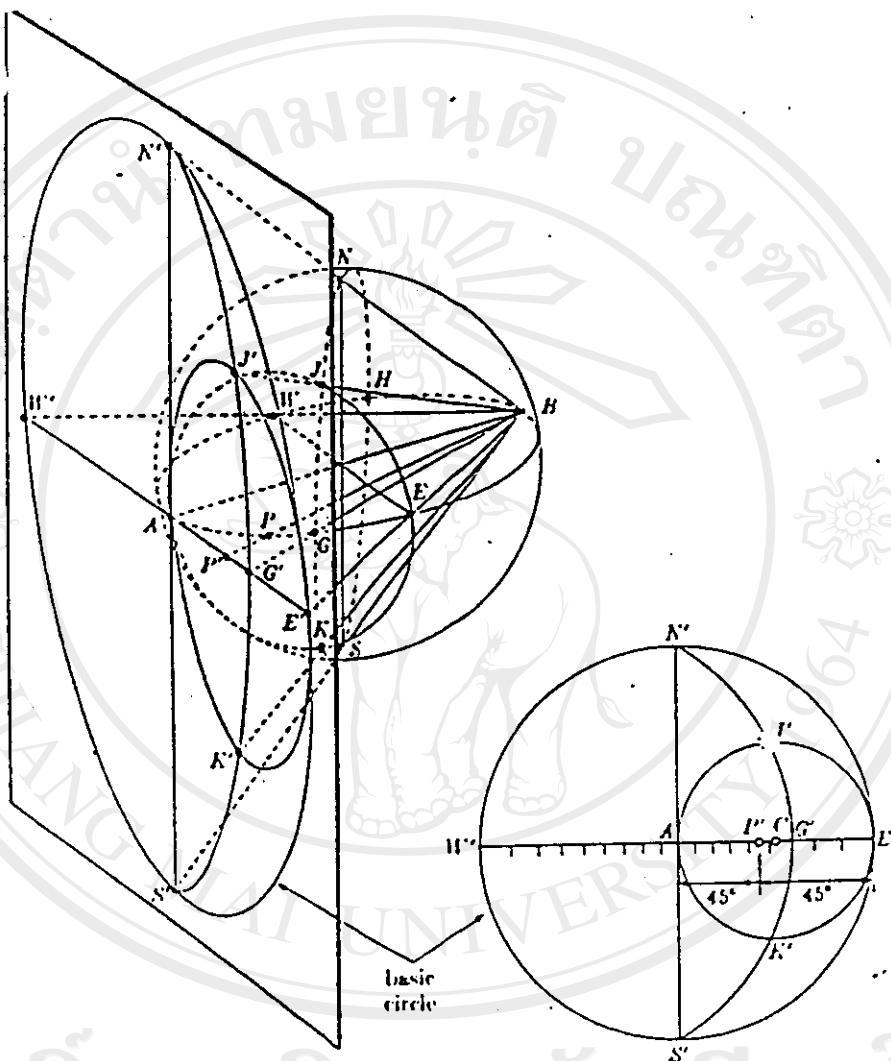
ลักษณะสำคัญในการศึกษาผลิกโดย stereographic projection คือ Wulff net ดังรูป 2.13 เป็น projection ของทรงกลม ประกอบด้วย เส้นรุ้งและเส้นแมว อยู่ในแนวราวน้ำและ近乎ตื้นตันของทรงกลม เส้นรุ้งบน Wulff net เป็นวงกลมเล็กๆ จำกัดด้านหนึ่งไปอีกด้านหนึ่ง ส่วนเส้นแมวเป็นวงกลมใหญ่ระหว่างขั้วเหนือ-ใต้ ของ Wulff net.

สร้าง stereographic projection บนกระดาษแก้ว โดยใช้ปากกากระดาษแก้วบน Wulff net ใช้เข็มหมุดปักตรงจุดศูนย์กลางของ Wulff net เพื่อให้กระดาษแก้วหมุนรอบจุดศูนย์กลาง จะได้ stereographic projection ที่มีศูนย์กลางของ Wulff net พร้อม



ลิขสิทธิ์มหาวิทยาลัยเชียงใหม่
 Copyright © by Chiang Mai University
 All rights reserved

รูปที่ 2.11 แสดง Stereographic projection



ลิขสิทธิ์มหาวิทยาลัยเชียงใหม่

Copyright © by Chiang Mai University

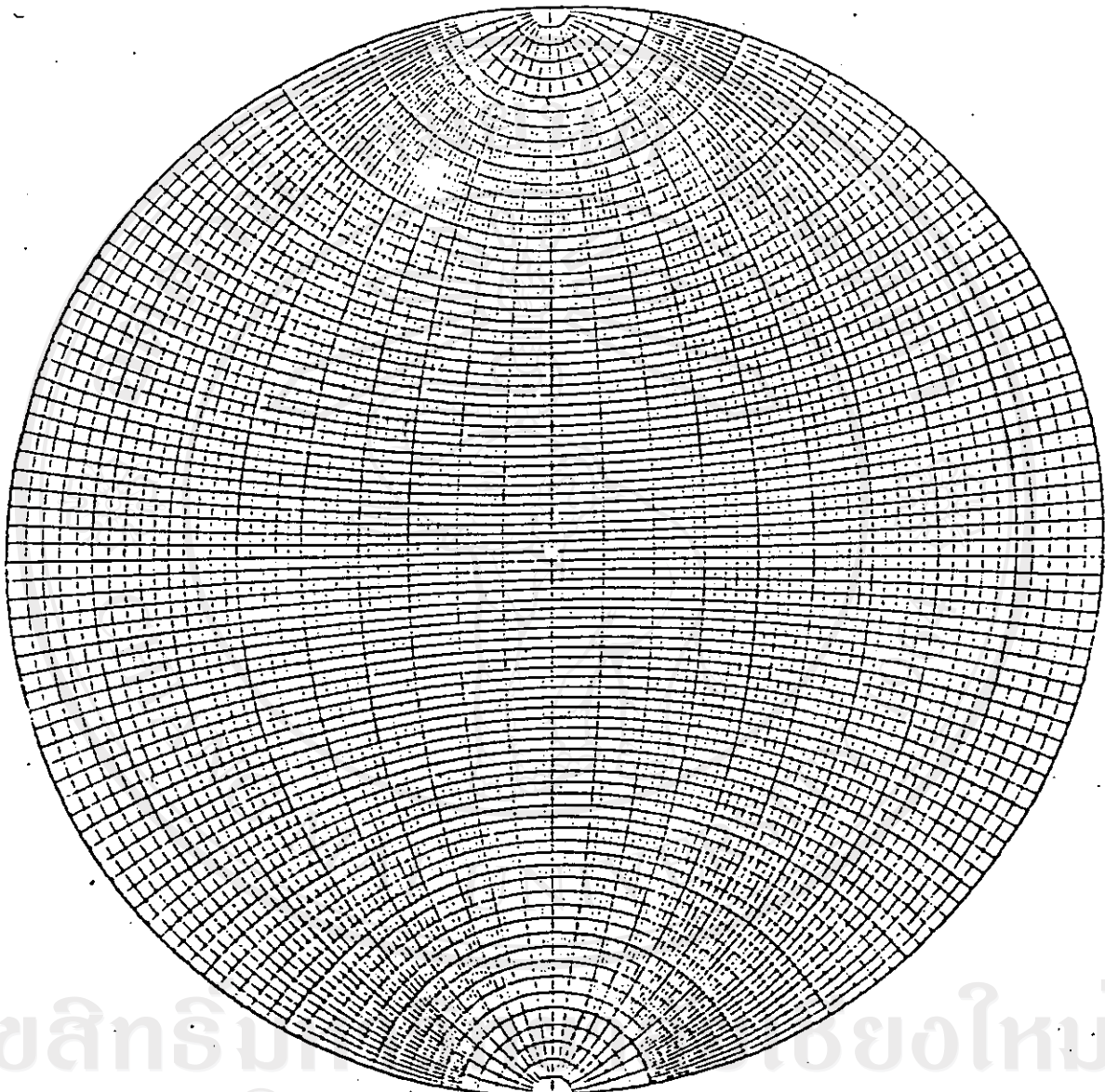
All rights reserved

จากรูป 2.12 วงกลมใหญ่ ANBS ถูก project เป็นเส้นตรง N' S'

วงกลมเล็ก AWSE ถูก project เป็นเส้นตรง N'' E''

วงกลมใหญ่ NGSH ซึ่งทำมุกับ projection plane ถูก project

เป็นส่วนโค้ง $N''G'S'$



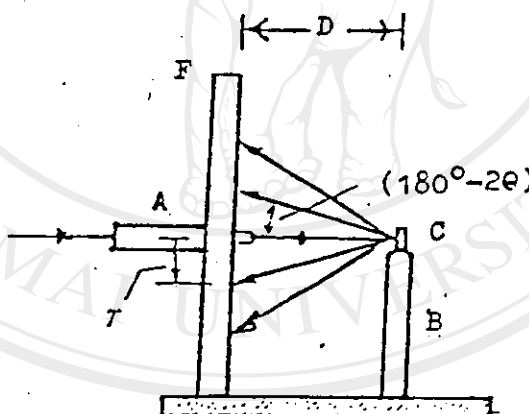
ลิขสิทธิ์บัตรห้องสมุดใหม่
Copyright © by Chiang Mai University
All rights reserved

รูปที่ 2.13 แสดง Wulff net 1 ช่องเท่ากับ 2 องศา

2.4.5 Back reflection Laue method⁽⁴⁾

Laue pattern ของผลึกเชิงเดียว ประกอบด้วย กลุ่มของจุด diffraction บนฟิล์ม ตำแหน่งของจุดนั้นอยู่กับ Orientation ของผลึก จะนับ Laue method ที่ Back reflection และ transmission สามารถหา Orientation ของผลึกได้ Back reflection ใช้กับผลึกที่มีความหนาได้ ผลึกที่ไม่มีมากทำอثرในรูปเท่าที่เรื่องแผ่น เพื่อสะดวกในการหมุนตามแกนและจัดทิศทางผลึกให้ตรงกันกับฟิล์ม ได้ง่าย ดังรูป 2.14

การศึกษาหา Orientation จากจุดบนฟิล์ม ชี้ว่าอยู่ในตำแหน่ง back reflection ต้องหา Bragg angle θ ที่สอดคล้องกับจุดทุกจุด

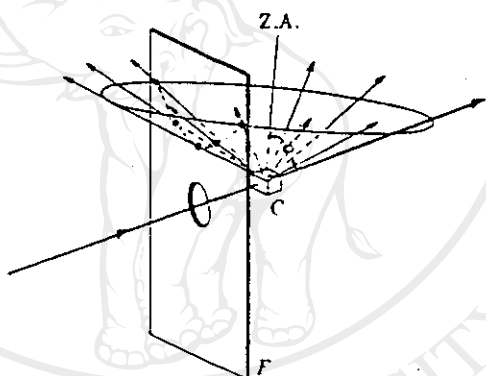


รูปที่ 2.14 แสดงการถ่ายภาพ back reflection Laue method
จากรูปที่ 2.14 จะเห็นว่าผลึกจะ diffract รังสีเอกซ์เป็นมุม Bragg's angle θ
เราสามารถหา θ ได้จากการคำนวณพื้นที่

$$\tan (180 - 2\theta) = r/D \quad (2.4)$$

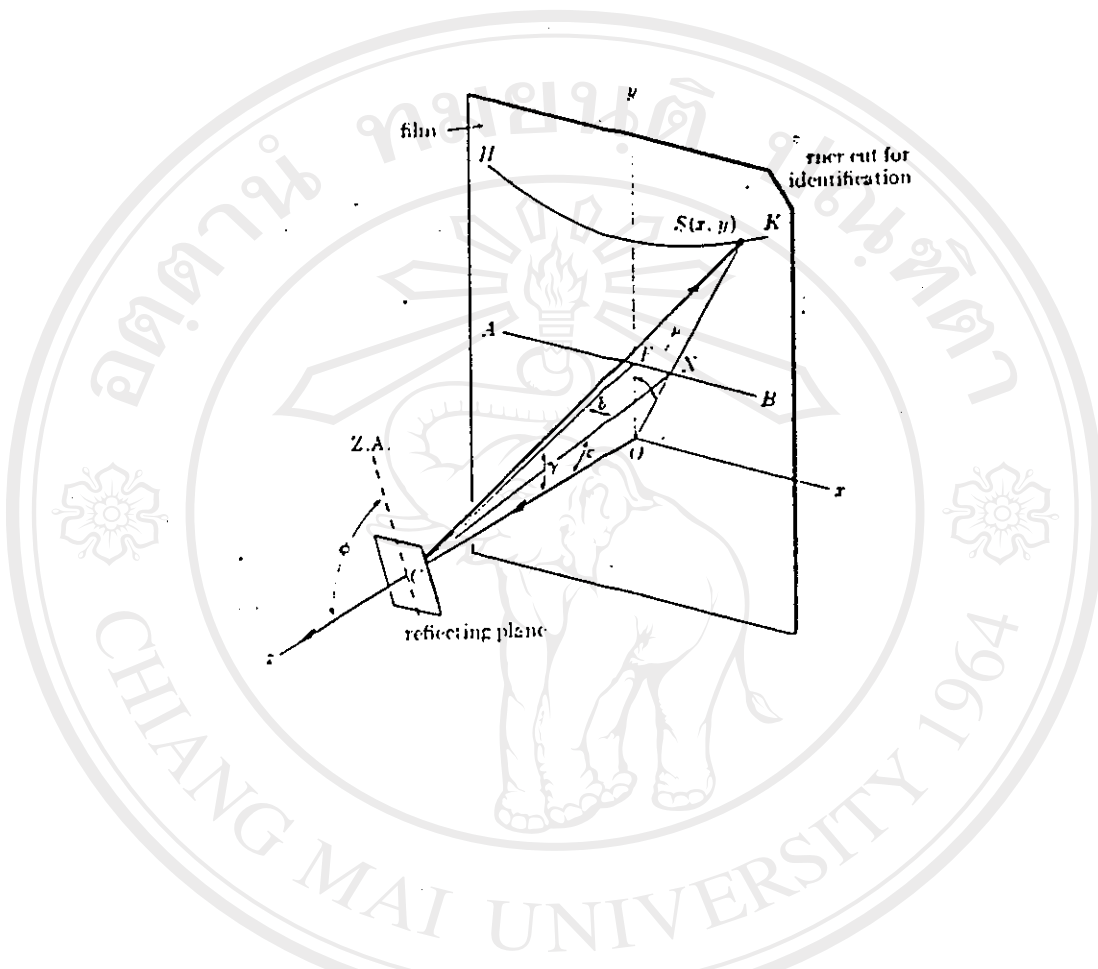
เมื่อกรอบค่า θ แล้วยังไม่สามารถชี้ลงไปได้ว่า ระยะทางทำให้เกิดจุดนั้นได้ เราสามารถหา Orientation ของเส้นตั้งฉากระหว่างที่ทำให้เกิดจุดแต่ละจุด เพราะเส้นตั้งฉากจะเป็นครึ่งวงหรือห่วงรังสีตัดกันและรังสีเลี้ยวเบน

ตั้งนี้การศึกษา Orientation จึงได้จากการวัดตำแหน่งจากจุดที่เกิดจากการ diffraction ทุกจุดบนฟิล์มและตำแหน่ง stereographic projection ของ pole ของระยะที่ทำให้เกิดจุดนั้นทุกระยะของ Zone จะสังเกตว่าในรายที่ Zone axis กำกับรังสีตัดกัน ดังรูป 2.15



รูปที่ 2.15 แสดงการตัดของ diffraction beam รูปภายนอก film back reflection, C = ผลึก, F = ฟิล์ม, ZA คือ Zone axis

จากรูป 2.15 ถ้า $\mu \neq$ น้อยกว่า 45 องศา รังสีเลี้ยวเบนจะไม่ตัดฟิล์มที่อยู่ห่างหลังผลึกถ้า θ อยู่ระหว่าง 45-90 องศา รังสีจะตัดฟิล์มเป็นรูปไฮเปอร์โบลาถ้า $\theta > 90$ องศา จะได้รังสีเลี้ยวเบนเป็นเส้นตรงตามแนวรังสีตัดกันถ้า θ มากกว่า 90 องศา รังสีเลี้ยวเบนจะต่อกร่างรังสีตัดกันดังนี้ จุดบนฟิล์มที่อยู่ต่ำแห่ง back reflection จะเป็นรูปไฮเปอร์โบลา กับเส้นตรง



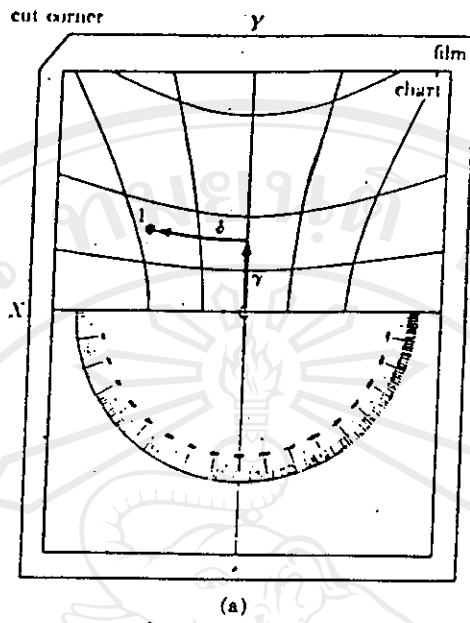
รูปที่ 2.16 แสดงตำแหน่งของจุดบนฟิล์มที่ตำแหน่ง back reflection เมื่อ $\theta = 90^\circ$

จากรูป 2.16 แสดงฟิล์มที่มีองจากการหันด้านแพลก โดยใช้รังสีตกรอบอยู่ในแนวแกน Z ในทิศทาง OZ และฟิล์มอยู่ในระนาบ xy จุด S บนฟิล์มเกิดจากรังสีที่ห้อนบนระนาบ C ในแพลก CN คือ เส้นตั้งฉากระนาบ C ระหว่างนี้อยู่ใน Zone ที่มี zone axis อยู่ในระนาบ yz ถ้าระนาบนี้หมุนรอบ zone axis รังสีจะผ่านทุกระนาบของ zone นี้ของแพลกจริง เส้นตั้งฉากจะตัดนิล์มเป็นรูปเส้นตรงและรังสีลักษณะปรากฏเป็นรูปไฮเปอร์โบลา HK จะนั่น AB คือ Locus ของเส้นตั้งฉากระนาบ HK คือ Locus ของรังสีลักษณะ ดังนั้น orientation ของเส้นตั้งฉากระนาบจะมีรายมุน x และ y และวัดมุมดังกล่าวจากพิกัด x,y ของจุด S บนฟิล์ม

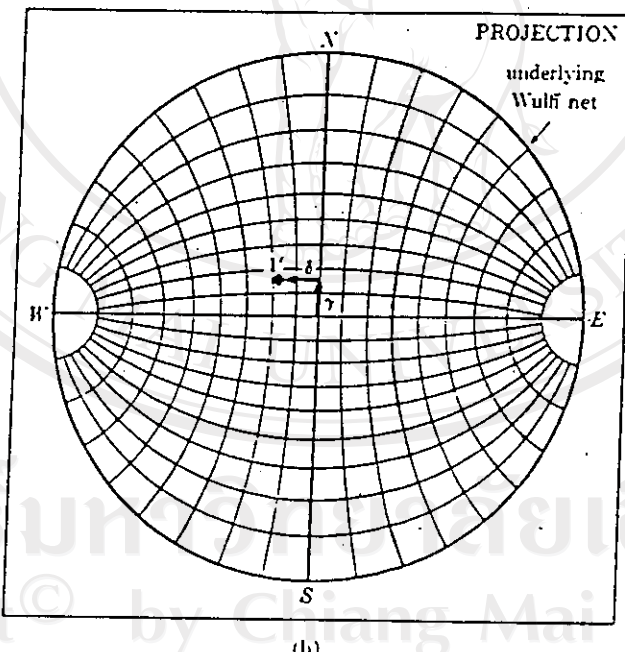
มีการประดิษฐ์ Gerninger chart รูปที่ 2.16 เพื่อวัดมุมเหล่านี้โดยวิธีกราฟ เมื่อวางแผนฟิล์มแล้วจัดให้ γ และ δ บน chart สอดคล้องกับจุดที่เกิดจากการเลี้ยวเบน

เอาฟิล์มวางบน chart โดยให้จุดศูนย์กลางของทั้งสองทิบกัน ให้ขอบฟิล์มและ chart ชานกัน วัดค่า γ และ δ ของแต่ละจุดได้โดยตรงจาก chart จากค่าที่อ่านได้นำไปเขียน stereographic projection ของ pole ต่าง ๆ ในการทดลองควรตัดมุมด้านบนขวาของฟิล์ม เพื่อให้ทราบว่าขณะทดลองน้ำฟิล์มหันไปทางด้านไหน เมื่อจะอ่านฟิล์มต้องเอาจมูกที่ตัดวางไว้ให้อขึ้นด้านบนข้าง右 ดังในรูป 2.17 (a) เอาค่ามุม γ และ δ ที่อ่านได้จาก chart นำไปเขียน pole บน stereographic projection ดังรูป 2.17 (b) ซึ่งต้องจัดให้ Wulff net อขึ้นในแนวตะวันออกตก เนื่องจากรังสีเลี้ยวเบนอยู่บนเส้นโค้งที่มีค่าคงที่ γ เดียวกัน มาจากระนาบต่าง ๆ ของ zone เดียวกัน pole ของวงกลมใหญ่ต้องอยู่บนวงกลมใหญ่เดียวกัน การใช้ chart วัดจุดที่อยู่ครึ่งล่างของฟิล์มทำได้โดยหมุน Gerninger chart มาด้านล่าง โดยวิธีนี้จะทำให้ทราบ orientation ของผลักได้

ลิขสิทธิ์มหาวิทยาลัยเชียงใหม่
Copyright[©] by Chiang Mai University
All rights reserved

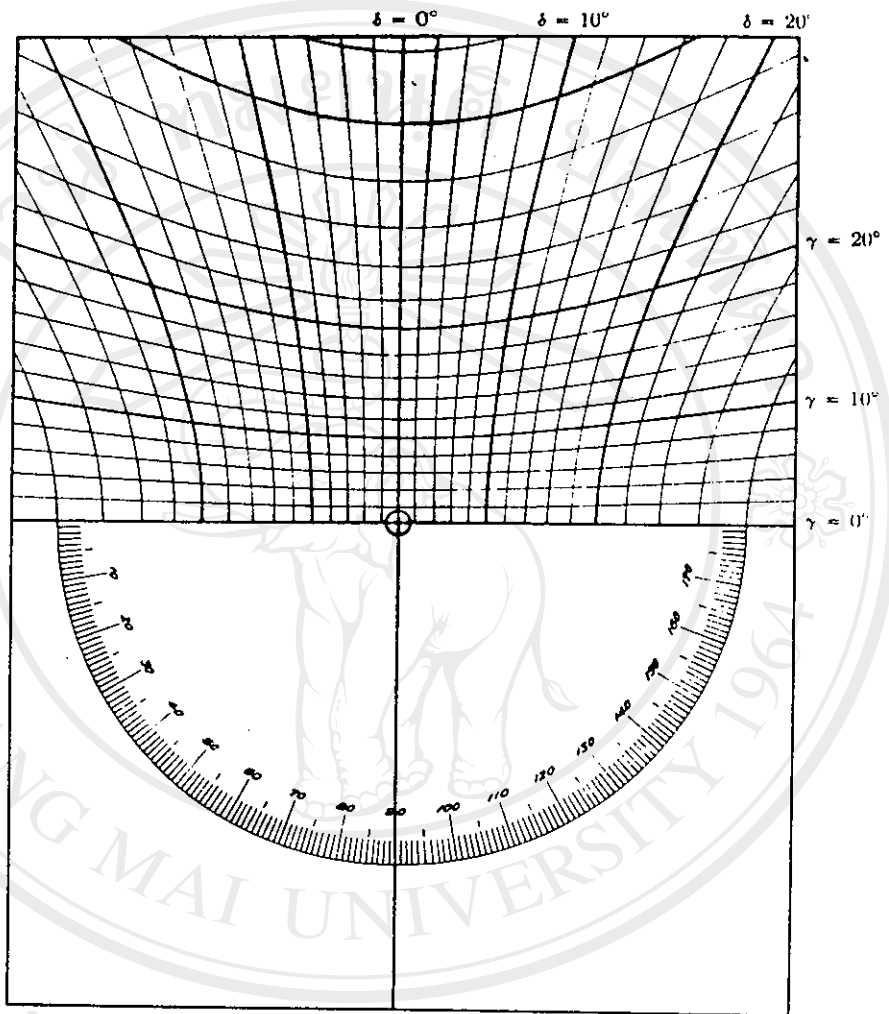


(a)



(b)

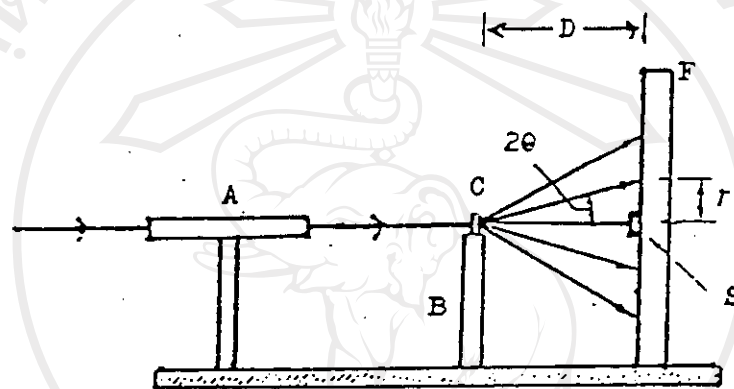
รูปที่ 2.17 แสดงการใช้ Gerninger chart เพื่อเขียน pole ฐานบนหน้า stereographic projection pole 1 ในรูป (b) ได้จาก pole ซึ่งเกิดขึ้นจาก plane ที่ทำให้เกิดจุด 1 บนฟิล์มในรูป (a)



ลิขสิทธิ์มหาวิทยาลัยเชียงใหม่
Copyright © by Chiang Mai University
All rights reserved
รูปที่ 2.18 แสดง Gerninger chart สำหรับ back reflection ซึ่งมีเป็นขนาด
ที่ใช้กับระยะพิล์มและผลักเท่ากับ 3 เมตรต่อเมตร

2.4.6 Transmission Laue Method⁽⁴⁾

สำหรับการถ่ายภาพแบบ Transmission ผลึกที่ใช้ต้องมีค่า absorption ต่ำ และมีขนาดไม่เท่ามากนัก Laue pattern ที่ได้เป็นเช่นเดียวกันกับ back reflection

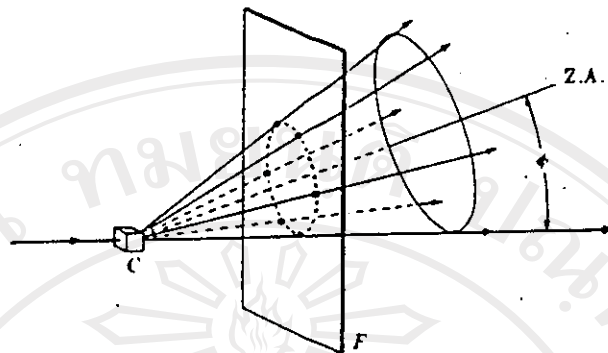


รูปที่ 2.19 แสดงการถ่ายภาพ Transmission ของ Laue

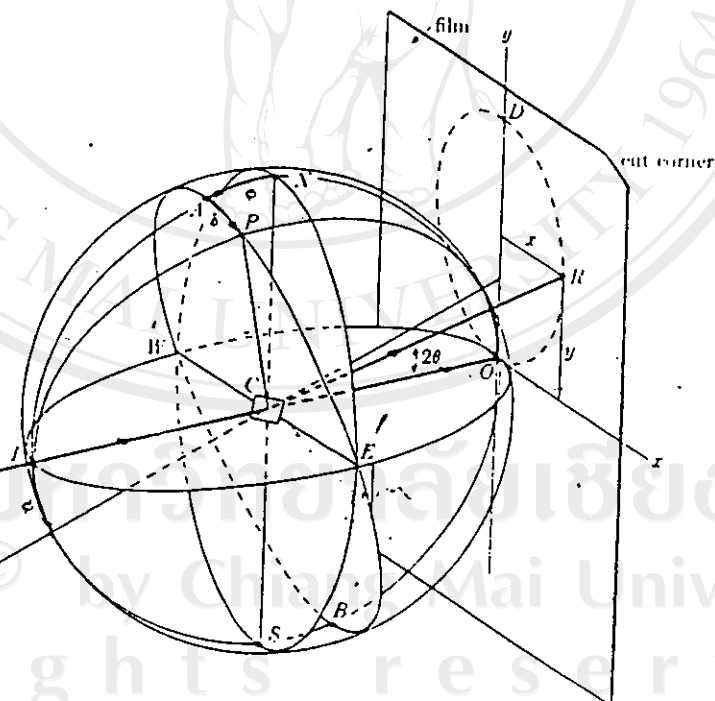
จากรูปที่ 2.19 สามารถหาค่ามุม Bragg's angle ได้จาก

$$\tan 2\theta = r/D \quad (2.5)$$

เช่นเดียวกับ back reflection เพื่อแสดงให้เห็น orientation ของผลึก จุดที่เกิดบนฟิล์มเกิดจากระนาบต่าง ๆ ของแต่ละ Zone ในผลึก จุดที่เกิดจากระนาบทอง Zone จะเรียงตัวเป็นเส้นโดยแบบหนึ่งของภาคตัดกรวย ส่วนโดยจะเป็นวงรือย่างสมบูรณ์ แบบเมื่อมุมะหว่ง Zone axis กับรังสีทะลุผ่าน (ϕ) เป็นมุมเล็ก ๆ ทั้งนี้เพื่อว่า ขนาดของฟิล์มมีจำกัด ถ้ามุม ϕ เป็นมุม 45 องศา จะได้รูป平行ไปลาและถ้า ϕ เท่ากับ 90 องศา จะได้รูปเส้นตรงตั้งในรูป 2.20



รูปที่ 2.20 แสดงภาพตัดขวางของริม diffraction beam ชั้งตัดฟิล์ม⁽²⁾ ของ Transmission, C = ผสาน, F = ฟิล์ม, Z.A. = Zone axis



รูปที่ 2.21 แสดงความสัมพันธ์ระหว่างเส้นตั้งฉากระหว่างกับจุดต่าง ๆ บนฟิล์ม transmission⁽²⁾

จากรูป 2.21 แสดงถึงมุมต่าง ๆ ที่เกี่ยวข้องกับวิธีการ transmission ของ Laue สามารถนำมาเขียนเป็นทรงกลมอ้างอิง จะอยู่รอบ ๆ ผลักที่ C รังสีตกรอบผ่านเข้าทรงกลมที่ I และทะลุผ่านออกทรงกลมที่ O (ผลมที่ใช้ทดลองจะตัดมุมขวาออก เพื่อจะได้ทราบว่าด้านไฟฟันไปทาง รังสีเอกซ์) ถ้ารังสีสะท้อนจากนานาแหล่งที่สกรอบฟิล์มที่ R และเส้นตั้งฉากตัดทรงกลมที่ P

พิจารณาการเลี้ยวเบนรังสีของระนาบของ Zone ที่มีแกนขนานกับระนาบ yz และทำมุม O กับรังสีตกรอบหรือรังสีทะลุผ่าน ถ้ามุมระหว่างไดรณะหนึ่งของ Zone นี้รอบแกนเริ่มจาก A ไป P โดยผ่านวงกลมใหญ่ PEBW คือ มันจะผ่านทุกระนาบใน Zone ขณะที่มุมระหว่างรอบ Zone axis นี้ จุดที่เกิดบนฟิล์มจาก D ไป R ไป O ไป D เป็นรูปวงรี DROD Zone นี้ นอกจากนี้สามารถ เกิดภาพแบบเดียวกัน แต่ค่า ϕ และ θ ต่างกันออกไม่

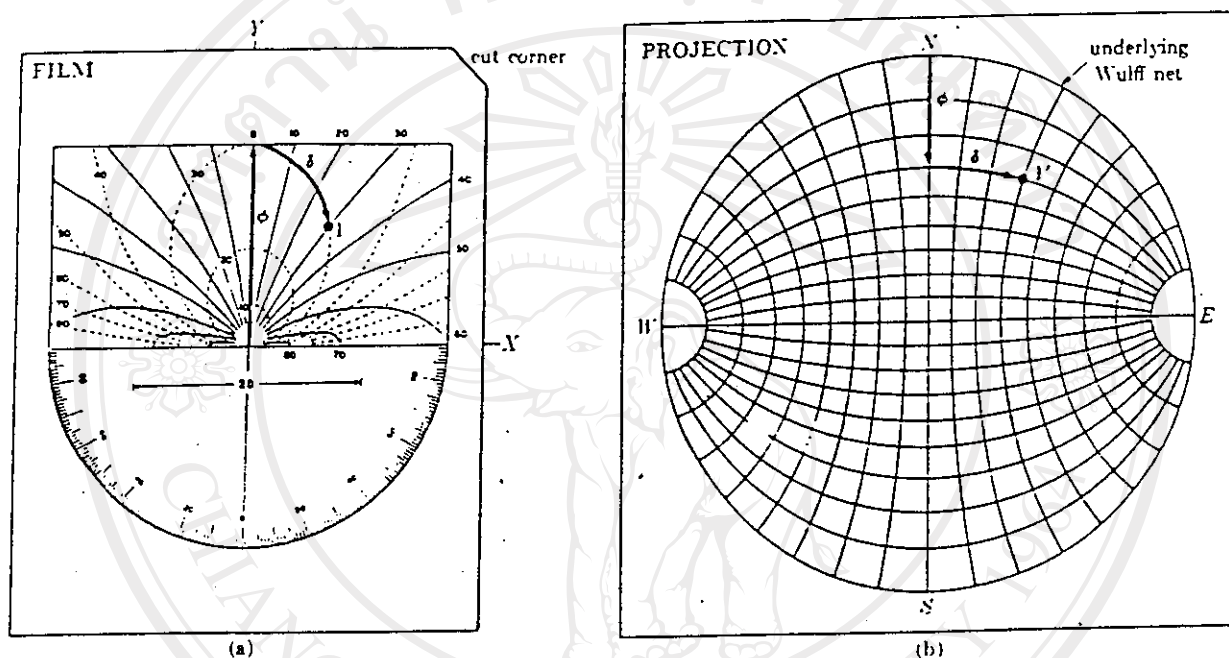
- θ คือ มุมรังสีทะลุผ่านกับ Zone axis
- θ คือ พิกัดของมุมของ pole ของระนาบที่มี
- D คือ ระยะห่างระหว่างผลักกับฟิล์ม

ค่า x,y ของจุด R บนฟิล์มสามารถหา orientation ของระนาบที่สอดคล้องกับจุดเหล่านี้ได้ โดยใช้ Leonhardt Chart ดังรูป 2.22 (a)

Chart นี้คล้ายคลึงกับ Gerninger chart ที่ใช้ศึกษา back reflection ประกอบด้วย ตาข่ายที่เกิดจากเส้น 2 ชุด คือ เส้นค่า ϕ คงที่ซึ่งสอดคล้องกับเส้นวงของ Wulff net และ เส้นของค่า θ คงที่ซึ่งสอดคล้องกับเส้นรังของ Wulff net

Pole ของระนาบจะทำให้เกิดจุดเนื่องจากการเลี้ยวเบนของรังสีเอกซ์ ซึ่งสามารถนำมาเขียนลงบน stereographic projection โดย projection plane สัมผัสกับทรงกลมที่ I และ projection จากจุด O นั้นคือ เราอ่านฟิล์มทางด้านที่เข้าหาผลัก ดังรูป 2.22

จาก Pole ที่เขียนแล้วนำมา index หา indices ของระนาบต่าง ๆ ที่สอดคล้องกับ pole นั้น โดยให้ Wulff net วัดมุมระหว่าง pole แล้วเทียบมุมกับมุมที่ได้จากการคำนวณของมุมระหว่างระนาบ



รูปที่ 2.22 แสดงการใช้ Leonhardt chart สໍາหັບເຂື້ອນ Pole ຂອງຮະນາບ stereographic projection pole $1'$ ในรูป (b) ເກີດຈາກ pole ຂອງຮະນາບທີ່ກຳໄວ້ເກີດຈຸດເພີ້ມໃນຮູບ (a)

Copyright © by Chiang Mai University

All rights reserved